

## Процессы релаксации упругой энергии в гетероструктурах с напряженными нановключениями

© А.Л. Колесникова, А.Е. Романов\*, В.В. Чалдышев\*

Институт проблем машиноведения Российской академии наук,  
199178 Санкт-Петербург, Россия

\* Физико-технический институт им. А.Ф. Иоффе Российской академии наук,  
194021 Санкт-Петербург, Россия

E-mail: aer@mail.ioffe.ru

(Поступила в Редакцию 28 июня 2006 г.)

Исследуется релаксация упругой энергии в системах, содержащих нановключения. Релаксация связана с образованием дислокационных петель: одиночной дислокационной петли несоответствия или группы таких петель на границе нановключения и окружающей матрицы и (или) дислокационной петли-сателлита вблизи включения. Определяются критические размеры включений, начиная с которых возможно зарождение дислокационных петель несоответствия и петель-сателлитов, для различных моделей релаксационных процессов. Приводятся расчетные и экспериментальные зависимости диаметра дислокационной петли-сателлита от размера включения.

Работа выполнена при поддержке Российского фонда фундаментальных исследований (грант № 05-08-65503-а).

PACS: 68.65.Hb, 81.07.Ta

Хорошо известно, что в гетеросистемах „пленка–подложка“ упругая деформация возникает из-за несоответствия параметров кристаллических решеток тонкой пленки и массивной подложки. Упругая энергия такой гетероструктуры линейно зависит от толщины пленки. При достижении критического значения толщины происходит сброс упругой энергии за счет образования дислокаций несоответствия (MD) на интерфейсе [1–4]. Эти дислокации, расположенные в плоскости границы раздела пленки и подложки, и в особенности дислокации, проникающие с поверхности в пленку, приводят к нарушению электронных и оптоэлектронных свойств гетероструктуры в целом [5,6].

Аналогично пленочным гетерослоям упругая деформация структур, содержащих квантовые точки, обусловлена несоответствием параметров кристаллических решеток квантовой точки и окружающей матрицы (для случая объемных квантовых точек) или несоответствием параметров решеток квантовой точки и подложки (для случая поверхностных квантовых точек). Различие параметров решеток позволяет моделировать квантовые точки нановключениями и островками с заданной собственной деформацией (eigenstrain)  $\epsilon^*$ . Примеры такого моделирования объемных и поверхностных квантовых точек с различными видами собственной пластической деформации даны в работах [7–9] и [10,11] соответственно. Упругие искажения, вносимые нановключениями (квантовыми точками) в систему, рассчитываются по заданной собственной деформации [12]. Энергия упругих искажений включений пропорциональна их объему и гипотетически может достигать неограниченно больших значений. Существуют каналы релаксации упругой энергии системы с включениями, связанные с образо-

ванием дополнительных дефектов — дислокаций. Как и в случае пленочных гетероструктур, дислокации в структурах с включениями нежелательны, поскольку искажают электронные и оптоэлектронные свойства материалов (см., например [13]). Поэтому исследования процессов релаксации упругой энергии в гетероструктурах с квантовыми точками, моделируемыми нановключениями, носят и фундаментальный, и прикладной характер.

Для систем с нановключениями рассчитаны релаксационные пути, сопровождающиеся испусканием соосных дислокационных петель [14] и петель-сателлитов [15] или образованием дислокационных петель несоответствия [16].

В настоящей работе подробно анализируется случай одновременного зарождения одиночной дислокационной петли несоответствия на границе нановключения и окружающей его матрицы и сопутствующей дислокационной петли-сателлита. Для сравнения представлены ранее рассмотренные авторами случаи образования дислокационной петли-сателлита при изменении собственной деформации включения  $\epsilon^*$  [15] и зарождения на границе включения дислокационной петли несоответствия без выброса петли-сателлита [16,17].

Образование дислокационных дефектов во всех представленных в данной работе вариантах релаксации связано с диффузией атомов включения или матрицы. Отметим, что изменение формы и ориентации включения для случая разновеликости компонент собственной деформации [7,9,18,19] тоже можно считать диффузионными путями минимизации упругой энергии системы.

## 1. Общие схемы релаксации упругой энергии гетеросистем с нановключениями, сопровождающейся образованием дислокационных петель

Результатом исследуемых процессов релаксации упругой энергии нановключением является появление одной или более дислокационных петель. На рис. 1 схематично представлены возможные варианты образования дислокационных петель в системе с нановключениями.

Нановключение (NI) в форме сфероида окружено матрицей и до релаксации не имеет дислокаций ни на своей поверхности, ни вблизи себя (рис. 1, *a*). С ростом NI его упругая энергия достигает некоторого критического значения, при котором становится выгодным образование дислокационных петель. Для определенности считаем, что параметры решетки материала сфероиды  $a_{NI}$  больше параметров решетки матрицы  $a_{mat}$ :  $a_{NI} > a_{mat}$ . Сброс упругой энергии может осуществляться за счет диффузии атомов матрицы, прилегающих к включению (рис. 1, *b, d, f*) [20]. Диффундирующие атомы образуют сопутствующую дислокационную петлю внедрения (рис. 1, *b, d*) или уходят (например, на свободную поверхность рис. 1, *f*). При этом на сфероиде может появиться дислокационная петля вычитания (рис. 1, *b, f*), либо уменьшается параметр несоответствия, а следовательно, и собственная деформация включения  $\varepsilon_m^{final} < \varepsilon_m^{initial}$  (рис. 1, *d*). Дислокационная петля на границе NI является дислокационной петлей несоответствия и аналогична дислокации несоответствия, образующейся в тонкой напряженной пленке, находящейся на массивной подложке. Чтобы не ограничивать общность рассмотрения, на фрагментах *c, e, g* рис. 1 показаны аналогичные дислокационные петли, но образованные продиффундировавшими атомами из сфероиды в окружающий кристалл. Петель несоответствия может быть несколько и опоясывать включение они могут в разных направлениях (рис. 1, *h*).

Петли-сателлиты обнаружены экспериментально вблизи нанокластеров, образовавшихся в  $\delta$ -допированном сурьмой арсениде галлия [15], и ранее в твердом растворе фосфора в германии [21].

Дислокации несоответствия неоднократно наблюдались в системах с островками (см., например, работы [22,23]). Дислокацию несоответствия на включении, внедренном в матрицу, трудно идентифицировать. Это связано с отсутствием эталонных расчетных электронно-микроскопических изображений дислокаций на включении, а при атомном разрешении проблематично обнаружить недостающий (или добавочный) атомный слой, связанный с дислокацией.

Далее приводятся расчеты трех возможных случаев расположения дислокационной петли в системе с нановключением: вне и на его поверхности, одновременно и по отдельности.

## 2. Упругие поля и энергии включений

В наших модельных расчетах включение внедрено в кристалл (рис. 1, *a*). Несоответствие параметра кристаллической решетки этого дефекта  $a_{NI}$  и параметра решетки окружающей матрицы  $a_{mat}$  имеет смысл собственной деформации [16,17] и определяется как

$$\varepsilon_m = \frac{a_{NI} - a_{mat}}{a_{NI}}. \quad (1)$$

Заметим, что знак  $\varepsilon_m$  в выражении (1) противоположен знаку параметра несоответствия, который обычно используется при описании гетероэпитаксиальной тонкой пленки на толстой подложке (см., например, [2]).

Для включения NI, окруженного со всех сторон матрицей, собственная деформация  $\varepsilon_{ij}^*$  в общем виде может быть записана в следующей форме:

$$\varepsilon^* = \begin{pmatrix} \varepsilon_{mxx} & \varepsilon_{mxy} & \varepsilon_{mxz} \\ \varepsilon_{mxy} & \varepsilon_{myy} & \varepsilon_{myz} \\ \varepsilon_{mzx} & \varepsilon_{mzy} & \varepsilon_{mzz} \end{pmatrix} \delta(\Omega_{NI}), \quad (2)$$

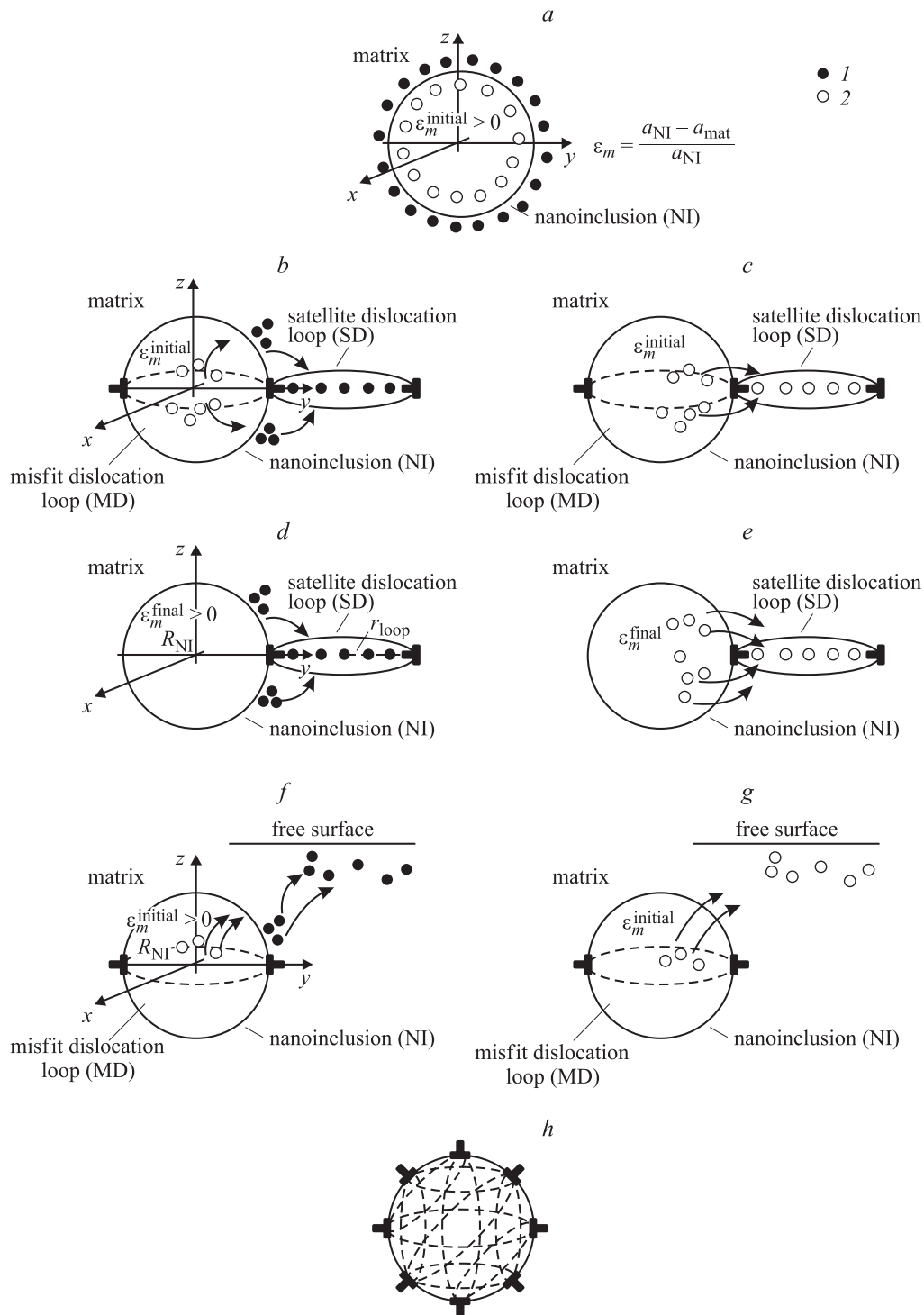
где диагональные члены соответствуют дилатационному несоответствию кристаллических решеток включения NI и окружающей матрицы, а остальные члены имеют значение сдвигового несоответствия кристаллических решеток;

$$\delta(\Omega_{NI}) = \begin{cases} 1, & r \in \Omega_{NI} \\ 0, & r \notin \Omega_{NI} \end{cases}, \quad \Omega_{NI} \text{ — область, занимаемая NI.}$$

Упругие поля включения (напряжения  $\sigma_{ij}$  и деформация  $\varepsilon_{ij}$ ) и поле полных смещений  $u_j$  вычисляются по данной собственной деформации (2) и, следовательно, зависят от несоответствия  $\varepsilon_{mkl}$  и области локализации включения  $\Omega_{NI}$ . Расчет упругих полей включения проводится по известной схеме с использованием упругих модулей, функции Грина упругой среды или ее Фурье-образа [12]. Для объемных дефектов сфероидальной или эллипсоидальной формы упругие поля представляются аналитически. Например, ненулевые компоненты напряжений сфероиды с несоответствием по трем координатным осям  $\varepsilon_{xx}^* = \varepsilon_{mxx}$ ,  $\varepsilon_{yy}^* = \varepsilon_{myy}$ ,  $\varepsilon_{zz}^* = \varepsilon_{mzz}$  ( $\varepsilon_{ij}^* = 0$ ,  $i \neq j$ ) в изотропном случае имеют вид [8,12]

$$\sigma_{xx}^{(in)} = -\frac{2G}{15(1-\nu)} \left[ 8\varepsilon_{mxx} + \varepsilon_{myy}(5\nu+1) + \varepsilon_{mzz}(5\nu+1) \right],$$

$$\sigma_{ij}^{(in)} = 0, \quad (i \neq j),$$



**Рис. 1.** Механизмы релаксации упругой энергии нановключениями за счет диффузии атомов и образования дислокационных петель. *a* — нановключение (NI) в матрице до процесса релаксации. 1 — атомы матрицы, 2 — атомы включения; *b* — диффузия атомов из прилегающей к нановключению (NI) матрицы и образование петлевой дислокации несоответствия (MD) и сопутствующей дислокационной петли-сателлита (SD),  $\epsilon_m$  — параметр несоответствия; *c* — диффузия атомов из нановключения и образование петлевой дислокации несоответствия и сопутствующей дислокационной петли-сателлита; *d* — диффузия атомов из прилегающей к нановключению (NI) матрицы и образование дислокационной петли-сателлита (SD),  $\epsilon_m^{initial}$ ,  $\epsilon_m^{final}$  — параметр несоответствия до и после образования сопутствующей дислокационной петли; *e* — диффузия атомов из нановключения и образование дислокационной петли-сателлита; *f* — диффузия атомов из прилегающей к нановключению (NI) матрицы на свободную поверхность и образование петлевой дислокации несоответствия (MD),  $\epsilon_m$  — параметр несоответствия; *g* — диффузия атомов из нановключения на свободную поверхность и образование петлевой дислокации несоответствия; *h* — образование семейств петлевых дислокаций несоответствия на включениях. Стрелками на частях *b*–*g* указаны направления диффузионных потоков.

$$\begin{aligned} \sigma_{xx}^{(out)} = & \frac{G}{15(1-\nu)\bar{R}^9} \left[ \varepsilon_{mxx} (24\tilde{x}^4 - 40\tilde{x}^6 - 72\tilde{x}^2\tilde{y}^2 + 9\tilde{y}^4 \right. \\ & + 45\tilde{x}^2\tilde{y}^4 + 5\tilde{y}^6 - 72\tilde{x}^2\tilde{z}^2 + 18\tilde{y}^2\tilde{z}^2 + 90\tilde{x}^2\tilde{y}^2\tilde{z}^2 \\ & + 15\tilde{y}^4\tilde{z}^2 + 9\tilde{z}^4 + 45\tilde{x}^2\tilde{z}^4 + 15\tilde{y}^2\tilde{z}^4 + 5\tilde{z}^6) \\ & + \varepsilon_{myy} (-12\tilde{x}^4 + 10\tilde{x}^6 + 81\tilde{x}^2\tilde{y}^2 - 45\tilde{x}^4\tilde{y}^2 - 12\tilde{y}^4 \\ & - 45\tilde{x}^2\tilde{y}^4 + 10\tilde{y}^6 - 9\tilde{x}^2\tilde{z}^2 + 15\tilde{x}^4\tilde{z}^2 - 9\tilde{y}^2\tilde{z}^2 \\ & - 45\tilde{x}^2\tilde{y}^2\tilde{z}^2 + 15\tilde{y}^4\tilde{z}^2 + 3\tilde{z}^4 - 5\tilde{z}^6 - 10\nu\tilde{x}^6 \\ & - 30\nu\tilde{x}^4\tilde{y}^2 - 30\nu\tilde{x}^2\tilde{y}^4 - 10\nu\tilde{y}^6 + 30\nu\tilde{x}^2\tilde{z}^4 \\ & + 30\nu\tilde{y}^2\tilde{z}^4 + 20\nu\tilde{z}^6) + \varepsilon_{mzz} (-12\tilde{x}^4 + 10\tilde{x}^6 \\ & + 81\tilde{x}^2\tilde{z}^2 - 45\tilde{x}^4\tilde{z}^2 - 12\tilde{z}^4 - 45\tilde{x}^4\tilde{z}^2 + 10\tilde{z}^6 \\ & - 9\tilde{x}^2\tilde{y}^2 + 15\tilde{x}^4\tilde{y}^2 - 9\tilde{y}^2\tilde{z}^2 - 45\tilde{x}^2\tilde{y}^2\tilde{z}^2 + 15\tilde{z}^4\tilde{y}^2 \\ & + 3\tilde{y}^4 - 5\tilde{y}^6 - 10\nu\tilde{x}^6 - 30\nu\tilde{x}^4\tilde{z}^2 - 30\nu\tilde{x}^2\tilde{z}^4 \\ & - 10\nu\tilde{z}^6 + 30\nu\tilde{x}^2\tilde{y}^4 + 30\nu\tilde{z}^2\tilde{y}^4 + 20\nu\tilde{y}^6) \left. \right], \\ \sigma_{xy}^{(out)} = & \frac{G\tilde{x}\tilde{y}}{(1-\nu)\bar{R}^9} \left[ \varepsilon_{mxx} (4\tilde{x}^2 - 4\tilde{x}^4 - 3\tilde{y}^2 - 3\tilde{x}\tilde{y}^2 \right. \\ & + \tilde{y}^4 - 3\tilde{z}^2 - 3\tilde{x}^2\tilde{z}^2 + 2\tilde{y}^2\tilde{z}^2 + \tilde{z}^4) \\ & + \varepsilon_{myy} (4\tilde{y}^2 - 4\tilde{y}^4 - 3\tilde{x}^2 - 3\tilde{x}^2\tilde{y}^2 \\ & + \tilde{x}^4 - 3\tilde{z}^2 - 3\tilde{y}^2\tilde{z}^2 + 2\tilde{x}^2\tilde{z}^2 + \tilde{z}^4) \\ & + \varepsilon_{mzz} (-\tilde{x}^2 + \tilde{x}^4 - \tilde{y}^2 + 2\tilde{x}^2\tilde{y}^2 + \tilde{y}^4 - 6\tilde{z}^2 \\ & - 3\tilde{x}^2\tilde{z}^2 - 3\tilde{y}^2\tilde{z}^2 - 4\tilde{z}^4 - 2\nu\tilde{x}^4 - 4\nu\tilde{x}^2\tilde{y}^2 \\ & - 2\nu\tilde{y}^4 - 4\nu\tilde{x}^2\tilde{z}^2 - 4\nu\tilde{y}^2\tilde{z}^2 - 2\nu\tilde{z}^4) \left. \right]. \quad (3) \end{aligned}$$

Здесь напряжения даны в декартовой системе координат  $(x, y, z)$ , связанной с центром сфероидального дефекта (рис. 1, *a*). Компоненты напряжений  $\sigma_{yy}^{(in),(out)}$  и  $\sigma_{zz}^{(in),(out)}$  определяются циклической перестановкой индексов и координат  $(x, y, z)$  в выражениях для  $\sigma_{xx}^{(in),(out)}$ ; компоненты  $\sigma_{zx}^{(out)}$ ,  $\sigma_{yz}^{(out)}$  находятся перестановкой индексов и координат  $(x, y, z)$  в выражении для  $\sigma_{xy}^{(out)}$ . Верхний индекс  $(in)$ ,  $(out)$  обозначает внутреннюю или внешнюю область сфероидального дефекта соответственно;  $\nu$  — коэффициент Пуассона,  $G$  — модуль сдвига,  $\bar{R} = R/R_{NI}$ ,  $\tilde{x} = x/R_{NI}$ ,  $\tilde{y} = y/R_{NI}$ ,  $\tilde{z} = z/R_{NI}$ ,  $R^2 = r^2 + z^2$ ,  $r^2 = x^2 + y^2$ ,  $R_{NI}$  — радиус сфероидального включения.

Упругая энергия включения с известной собственной деформацией (2) может быть записана следующим образом [12]:

$$E_{NI} = -\frac{1}{2} \int \varepsilon_{ij}^* \sigma_{ij}^{(in)} dV, \quad (4)$$

где  $\sigma_{ij}^{(in)}$  — компоненты тензора напряжений внутри включения.

В случае когда параметры несоответствия равны по трем осям  $\varepsilon_{xx}^* = \varepsilon_{yy}^* = \varepsilon_{zz}^* = \varepsilon_m$  и сдвиговые компоненты собственной деформации отсутствуют, упругая энергия сфероидального дефекта представляется формулой  $E_{NI} = \frac{8\pi(1+\nu)}{3(1-\nu)} G \varepsilon_m^2 R_{NI}^3$ . Для напряженного сфероидального дефекта с одноосной однородной собственной деформацией ( $\varepsilon_{zz}^* = \varepsilon_m$ ,  $\varepsilon_{xx}^* = \varepsilon_{yy}^* = 0$ ) —  $E_{NI} = \frac{32\pi}{45(1-\nu)} G \varepsilon_m^2 R_{NI}^3$  [12]. Видно, что с ростом радиуса включения его упругая энергия растет по кубическому закону.

Начиная с некоторого критического значения радиуса  $R_C$ , „запускается“ механизм сброса упругой энергии квантовой точки. Энергетическим критерием такого „запуска“ является

$$E^{initial} \geq E^{final}, \quad (5)$$

здесь  $E^{initial}$ ,  $E^{final}$  — упругая энергия системы с нановключением до и после релаксации.

### 3. Парное образование призматической дислокационной петли несоответствия на включении и петли-сателлита вблизи него (рис. 1, *b, c*)

Рассмотрим квантовую точку сферической формы с равноосной собственной деформацией:  $\varepsilon_{ii}^* = \varepsilon_m$ ,  $\varepsilon_{ij}^* = 0$  ( $i \neq j$ ,  $i, j = x, y, z$ ). Поле напряжений (3) включения, моделирующего такую квантовую точку, значительно упрощается. Например, внутри включения

$$\sigma_{xx}^{(in)} = \sigma_{yy}^{(in)} = \sigma_{zz}^{(in)} = -\frac{4(1+\nu)G\varepsilon_m}{3(1-\nu)}. \quad (6)$$

При достижении энергией включения  $E_{NI}$  некоторой критической величины система „NI–матрица“ преобразуется в систему „NI–дислокационная петля несоответствия MD–петля-сателлит SD–матрица“. Энергетическое условие (5) такого пути релаксации примет вид

$$E_{NI} \geq E_{NI} + E_{MD} + E_{SD} + E_{NI-MD} + E_{NI-SD} + E_{MD-SD}. \quad (7)$$

Здесь  $E_{MD}$ ,  $E_{SD}$  — энергии дислокационной петли несоответствия и петли-сателлита;  $E_{NI-MD}$ ,  $E_{NI-SD}$  — энергии взаимодействия включения с дислокационными петлями;  $E_{MD-SD}$  — энергия взаимодействия петель.

Дополнительное условие, учитывающее постоянство вещества в рассматриваемой системе (так называемый закон сохранения масс) и связывающее радиусы образовавшихся петель, представляют собой следующее равенство:

$$b_{MD} S_{MD} = b_{SD} S_{SD}, \quad (8)$$

где  $b_{MD}$ ,  $b_{SD}$  — величины векторов Бюргера петель;  $S_{MD}$ ,  $S_{SD}$  — площади, занимаемые MD- и SD-петлями соответственно;  $S_{MD} = \pi r_{MD}^2$ ,  $S_{SD} = \pi r_{SD}^2$ . В частности, из условия (8) видно, что радиус петли-сателлита прямо пропорционален радиусу петли несоответствия;  $r_{SD} = \beta r_{MD}$ ,  $\beta = \sqrt{\frac{b_{MD}}{b_{SD}}}$ .

Для представления неравенства (7) в развернутом виде воспользуемся выражением для энергии взаимодействия двух дефектов (в нашем случае включения и петли) [12]

$$E_{I-II} = - \int_{\Omega_I} \varepsilon_{ij}^{*I} \sigma_{ij}^{II} dV = - \int_{\Omega_{II}} \varepsilon_{ij}^{*II} \sigma_{ij}^I dV, \quad (9)$$

где  $\Omega_I, \Omega_{II}$  — области, занимаемые дефектами I и II соответственно;  $\varepsilon_{ij}^{*I}, \varepsilon_{ij}^{*II}$  — собственные деформации дефектов;  $\sigma_{ij}^I, \sigma_{ij}^{II}$  — упругие напряжения, создаваемые дефектами.

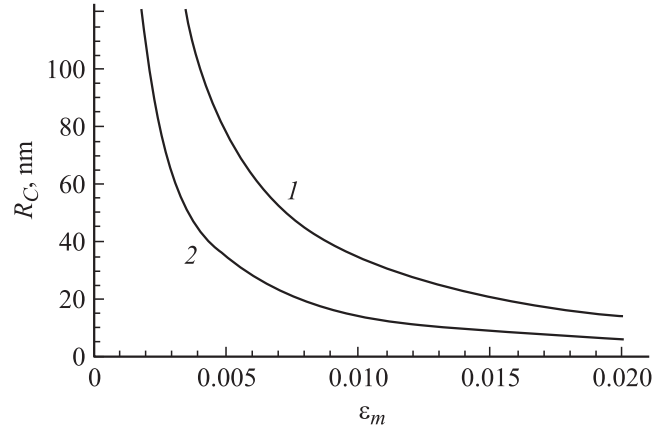
После подстановок соотношение (7) примет вид

$$\begin{aligned} & \frac{Gb_{MD}^2 r_{MD}}{2(1-\nu)} \left( \ln \frac{1.08ar_{MD}}{b_{MD}} \right) \\ & + \frac{Gb_{SD}^2 r_{SD}}{2(1-\nu)} \left( \ln \frac{1.08ar_{SD}}{b_{SD}} \right) - \frac{4\pi(1+\nu)Gb_{MD}\varepsilon_m R_{NI}^2}{3(1-\nu)} \\ & - \int_{S_{SD}} b_{SD} \sigma_{zz}^{(out)} \Big|_{S=S_{SD}} dS - \int_{S_{SD}} b_{SD} \sigma_{zz}^{MD} \Big|_{S=S_{SD}} dS \leq 0, \quad (10) \end{aligned}$$

где первые два слагаемых — энергии дислокационной петли несоответствия и петли-сателлита соответственно в приближении  $r_{MD,SD} \gg b_{MD,SD}$  [24]; третий член — энергия взаимодействия включения NI и дислокационной петли несоответствия; интегральные слагаемые — энергии взаимодействия петли-сателлита с NI и дислокационной петлей несоответствия. Интегралы записаны с условием геометрии рис. 1, интегрирование ведется по площади петли-сателлита,  $\sigma_{ij}^{MD}$  — тензор напряжений дислокационной петли несоответствия. Параметр  $\alpha$  учитывает энергетический вклад ядра дислокации и может принимать значения 1–4 [25].

Поле напряжений призматической круговой петли „loop“ (в частности, MD- или SD-петли) с собственной деформацией  $\varepsilon_{zz}^* = \pm bH(1 - \frac{r}{r_{loop}})\delta(z)$  имеет вид [24]

$$\begin{aligned} \sigma_{rr}^{loop} &= \pm \frac{Gb}{2(1-\nu)} \left[ \frac{1-2\nu}{r} J(1, 1; 0) + \frac{|z|}{r_{loop}^2} J(1, 0; 2) \right. \\ & \quad \left. - \frac{1}{r_{loop}} J(1, 0; 1) - \frac{|z|}{r_{loop}} J(1, 1; 1) \right], \\ \sigma_{\phi\phi}^{loop} &= \pm \frac{Gb}{2(1-\nu)} \left[ \frac{2\nu-1}{r} J(1, 1; 0) \right. \\ & \quad \left. - \frac{2\nu}{r_{loop}} J(1, 0; 1) + \frac{|z|}{r_{loop}r} J(1, 1; 1) \right], \\ \sigma_{zz}^{loop} &= \mp \frac{Gb}{2(1-\nu)} \left[ \frac{1}{r_{loop}} J(1, 0; 1) + \frac{|z|}{r_{loop}^2} J(1, 0; 2) \right], \\ \sigma_{rz} &= \mp \frac{Gb}{2(1-\nu)} \frac{z}{r_{loop}^2} J(1, 1; 2), \\ \sigma_{z\phi} &= \sigma_{r\phi} = 0. \quad (11) \end{aligned}$$



**Рис. 2.** Зависимости критического радиуса сферического включения  $R_C$  от величины параметра несоответствия  $\varepsilon_m$  при различных путях релаксации напряжений. 1 — релаксация сопровождается образованием петлевой дислокации несоответствия на включении и дислокационной петли-сателлита вблизи него; 2 — релаксация сопровождается образованием одиночной петлевой дислокации несоответствия на включении. Графики построены при следующих параметрах: коэффициент Пуассона  $\nu = 0.3$ , константа вклада ядра дислокации  $\alpha = 4$ , величина вектора Бюргера дислокации  $b = 0.3$  nm.

В формулах (11) использована система координат, связанная с центром петли и с осью  $OZ$ , перпендикулярной плоскости петли;  $b$  — величина вектора Бюргера петли;  $H(1 - \frac{r}{r_{loop}})$  — функция Хевисайда;  $\delta(z)$  — дельта-функция;  $r_{loop}$  — радиус петли;  $\nu$  — коэффициент Пуассона;  $G$  — модуль сдвига.  $J(m, n; p)$  — интегралы Лифшица–Ханкеля [26], задаваемые соотношением  $J(m, n; p) = \int_0^\infty J_m(\kappa) J_n(\kappa \frac{r}{r_{loop}}) \exp(-\kappa \frac{|z|}{r_{loop}}) \kappa^p d\kappa$ ;  $J_m(\kappa)$  — функция Бесселя.

Отметим, что условие (10) применимо и для расчета релаксации с испусканием соосной включению петли-сателлита [14]. При этом в четвертом слагаемом (10) плоскость петли-сателлита может захватывать внутреннюю область включения, и тогда часть интегрирования ведется с напряжениями  $\sigma_{ij}^{(in)}$ .

Для оценки полагаем, что дислокационная петля несоответствия имеет экваториальное расположение на сфероидальном включении  $r_{MD} = R_{NI}$ , величины векторов Бюргера дислокационных петель приблизительно равны  $b_{MD} = b_{SD} = b$ , а интегральные слагаемые малы по сравнению с аналитическими членами. В этом случае критический радиус квантовой точки  $R_C$ , при котором возможна релаксация упругой энергии с парным образованием петли несоответствия и петли-сателлита, определяется из соотношения

$$R_C \approx \frac{3b}{4\pi(1+\nu)\varepsilon_m} \left( \ln \frac{1.08aR_C}{b} \right). \quad (12)$$

Подчеркнем, что выражение (12) приближенное и может быть использовано только для определения порядка

величины критического радиуса. На рис. 2 приведен график зависимости критического радиуса от значения несоответствия (кривая 1), полученный на основе точного расчета критерия (10) с учетом интегральных членов.

#### 4. Одиночная призматическая дислокационная петля вблизи включения (рис. 1, d, e)

Рассмотрим включение сферической формы, обладающей одноосной собственной дилатацией. Собственная деформация для него определяется соотношением:  $\varepsilon_{zz}^* = \varepsilon_m$ ,  $\varepsilon_{xx}^* = \varepsilon_{yy}^* = 0$ . Подобные объекты наблюдались в экспериментах с арсенидом галлия (подробно см. [15]).

Условие „запуска“ процесса релаксации (5) содержит начальную упругую энергию системы  $E_{\text{NI}}^{\text{initial}}$ , которая в данной модели является упругой энергией включения  $E_{\text{NI}}^{\text{initial}}$ , и конечную энергию системы  $E^{\text{final}}$ . Последняя складывается из конечной упругой энергии включения  $E_{\text{NI}}^{\text{final}}$ , упругой энергии призматической дислокационной петли-сателлита  $E_{\text{SD}}$  и энергии взаимодействия включения и петли  $E_{\text{NI-SD}}$ . С учетом изложенного условие (5) представляется в виде

$$E_{\text{NI}}^{\text{initial}} \geq E_{\text{NI}}^{\text{final}} + E_{\text{SD}} + E_{\text{NI-SD}}. \quad (13)$$

Диффузия атомов из пространства, прилегающего к включению (рис. 1, d), или из самого включения (рис. 1, e) приводит к изменению параметра несоответствия  $\varepsilon_m$  и, следовательно, собственной деформации. Эту ситуацию можно представить себе и как появление распределенных по поверхности нановключения семейства дислокационных петель (рис. 1, h).

Согласно закону сохранения масс имеем

$$(\varepsilon_m^{\text{initial}} - \varepsilon_m^{\text{final}}) V_{\text{NI}} = b S_{\text{SD}}, \quad (14)$$

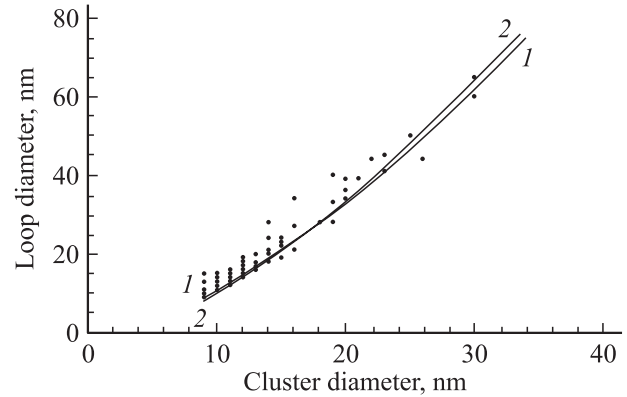
где  $V_{\text{NI}} = \frac{4\pi}{3} R_{\text{NI}}^3$ ,  $S_{\text{SD}} = \pi r_{\text{SD}}^2$ .

Отсюда находим разность параметров несоответствия до и после процесса образования петли-сателлита

$$\Delta\varepsilon_m = \frac{3br_{\text{SD}}^2}{4R_{\text{NI}}^2}. \quad (15)$$

Минимум упругой энергии системы в конечном состоянии позволяет определить зависимость радиуса образовавшейся петли от радиуса включения при заданном значении параметра несоответствия  $\varepsilon_m^{\text{initial}}$

$$\frac{\partial}{\partial r_{\text{SD}}} \left( \frac{32\pi G}{45(1-\nu)} \left( \varepsilon_m^{\text{initial}} - \frac{3br_{\text{SD}}^2}{4R_{\text{NI}}^2} \right)^2 R_{\text{NI}}^3 + \frac{Gb^2 r_{\text{SD}}}{2(1-\nu)} \left( \ln \frac{1.08ar_{\text{SD}}}{b} \right) - \int_{S_{\text{SD}}} b\sigma_{zz}^{(\text{out})} \Big|_{S_{\text{SD}}} dS \right) = 0. \quad (16)$$



**Рис. 3.** Экспериментальная и теоретическая зависимости диаметра сопутствующей дислокационной петли от диаметра кластера в арсениде галлия,  $\delta$ -допированном сурьмой при низкой температуре. Величины параметра несоответствия и вектора Бюргера соответственно равны: 1 —  $\varepsilon_m = 0.065$ ,  $b = 0.28$  nm, 2 —  $\varepsilon_m = 0.035$ ,  $b = 0.14$  nm. Коэффициент Пуассона  $\nu = 0.3$ . Точками представлены экспериментальные данные, полученные для GaAs, выращенного при 200°C и отожженного при 500–600°C [15].

На рис. 3 показаны экспериментальная и теоретическая зависимости диаметра сопутствующей дислокационной петли от диаметра кластера в арсениде галлия,  $\delta$ -допированном сурьмой при низкой температуре [15]. Величина вектора Бюргера  $b$  дислокационной петли в данных экспериментах была определена с точностью до коэффициента 2. Если предположить, что атомы, образовавшие петлю, диффундировали из области матрицы GaAs, прилегающей к кластеру (рис. 1, d), то  $b = 0.28$  nm. Предположение о диффузии атомов сурьмы из кластера (рис. 1, e) приводит к величине вектора Бюргера  $b = 0.14$  nm. На рис. 3 приведены оба возможных расчетных варианта. Значения параметра несоответствия представляли собой разумные гипотетические величины.

#### 5. Одиночная призматическая дислокационная петля на поверхности квантовой точки (рис. 1, f, g)

Пусть для системы „нановключение NI–матрица“ выполнено условие  $\varepsilon_{ii}^* = \varepsilon_m$ ,  $\varepsilon_{ij}^* = 0$  ( $i \neq j$ ,  $i, j = x, y, z$ ). Как и в первом из рассмотренных механизмов релаксации, поле напряжений квантовой точки (3) значительно упрощается. Полагаем, что собственная упругая энергия квантовой точки до и после образования дислокационной петли несоответствия остается постоянной  $E_{\text{NI}}^{\text{initial}} = E_{\text{NI}}^{\text{final}}$ . Тогда критерий зарождения петли несоответствия можно представить условием

$$0 \geq E_{\text{MD}} + E_{\text{NI-MD}}, \quad (17)$$

где обозначения те же, что и в формуле (7).

С учетом экваториального расположения дислокационной петли несоответствия на сфероиде выражение (17) имеет вид

$$\frac{Gb^2R_{\text{NI}}}{2(1-\nu)} \left( \ln \frac{1.08\alpha R_{\text{NI}}}{b} \right) - \frac{4\pi Gb\epsilon_m(1+\nu)R_{\text{NI}}^2}{3(1-\nu)} \leq 0, \quad (18)$$

где использованы те же обозначения, что и в предыдущих формулах.

Пороговое значение радиуса квантовой точки, при котором на квантовой точке образуется петля, описывается соотношением

$$R_C = \frac{3b}{8\pi(1+\nu)\epsilon_m} \left( \ln \frac{1.08\alpha R_C}{b} \right). \quad (19)$$

На рис. 2 кривая 2 показывает зависимость  $R_C(\epsilon_m)$  для рассмотренного выше пути релаксации упругой энергии.

## 6. Обсуждение результатов

Предложенные в работе механизмы релаксации упругой энергии в системах с напряженными нановключениями основаны на энергетическом критерии возможности их реализации. Суть рассматриваемых процессов одна — пластическая деформация с переносом избыточного или недостающего вещества от включения или к нему. Идея об образовании дислокационной петли на границе включения и окружающей его матрицы основана, во-первых, на аналогии этой границы с границей между тонкой пленкой и толстой подложкой, где наблюдаются дислокации несоответствия [1–4] и, во-вторых, на подобии включений и островков, на которых также обнаружены дислокации несоответствия [22,23]. Для островка процесс релаксации подобен протекающему в пленках, т.е. образование дислокации несоответствия (или ансамбля дислокаций) на границе контакта с подложкой. При этом дислокацию можно рассматривать как фрагмент дислокационной петли, линия которой проходит частично по свободной поверхности островка, частично по границе его контакта с подложкой. На основании лишь приведенных расчетов нельзя определить предпочтительный путь релаксации напряжений в гетероструктуре с нановключениями. Рассчитанные критические величины размеров наночастиц (рис. 1, *b, c, f, g*), при которых энергетически выгоден процесс образования дислокаций, для рассмотренных случаев расположения петель имеют один порядок (рис. 2). Такого же порядка и наблюдаемый в эксперименте критический размер кластера (при аналогичном параметре несоответствия), вблизи которого зарождается петля-сателлит (рис. 3).

„Выбор“ пути релаксации гетеросистемой заключается, видимо, в способе ее образования. Разница между нановключениями (квантовыми точками) типа InAs в GaAs или Ge в Si и кластерами As–Sb в GaAs состоит в том, что первые формируются на поверхности или вблизи нее, а кластеры — в объеме. В квантовых

точках избыток вещества, возникающий при пластической деформации, уходит на поверхность. Кинетически это может, например, происходить путем зарождения дислокации на открытой поверхности квантовой точки в процессе ее (точки) формирования с последующим скольжением или переползанием к интерфейсу с матрицей и формированием замкнутой дислокационной петли при заращивании. В случае кластеров As–Sb в GaAs расстояние до поверхности значительно больше длины диффузии при температурах формирования кластеров. В результате вытесняемый растущим кластером материал матрицы формирует дислокационную петлю внедрения вблизи кластера одновременно с формированием петли дислокации несоответствия на самом кластере. Сумма собственных энергий дислокационных колец и энергий их взаимодействия друг с другом и кластером оказывается меньше упругой энергии когерентно-встроенного кластера. Таким образом, в случае кластера As–Sb механизм релаксации упругой энергии реализуется в консервативной системе (материал матрицы, окружавший кластер преобразуется в дислокационную петлю внедрения), а в случае квантовых точек система является открытой за счет того, что поверхность служит бесконечно емким стоком материала. Дислокационные петли вблизи включения наблюдались в экспериментах [14,15,21]. Результаты предложенных расчетов зависимости диаметра дислокационной петли от диаметра включения совпадают с опытными данными. Нелинейный характер зависимости указывает на уменьшение собственной деформации включения в целом (рис. 1, *d, e*), а не на образование пары дислокационных петель MD–SD (рис. 1, *b, c*).

Отметим, что испускание дислокационной петли, основной эллипсоидальному дефекту [14], рассматривается нами, как частный случай расположения петли-сателлита, а не как отдельный механизм релаксации напряжений.

## Список литературы

- [1] J.W. Mathews, A.E. Blakeslee. *J. Cryst. Growth* **27**, 118 (1974); **29**, 273 (1975); **32** 265 (1976).
- [2] R. Beanland, D.J. Dunstan, P.J. Goodhew. *Adv. Phys.* **45**, 87 (1996).
- [3] D.J. Dunstan. *J. Mater. Sci.: Mater. Electr.* **8**, 337 (1997).
- [4] A.E. Romanov. *Z. Metallkunde* **96**, 455 (2005).
- [5] S. Nakamura. *Science* **281**, 956 (1998).
- [6] H.V. Yu., H. Chen, D. Li, J. Wang, Z.G. Xing, X.H. Zheng, Q. Huang, J.M. Zhou. *J. Crystal Growth* **266**, 455 (2004).
- [7] M. Kato, T. Fujii, S. Onaka. *Mat. Sci. Eng. A* **211**, 95 (1996).
- [8] H.A. Берг, А.Л. Колесникова, А.Е. Романов, В.В. Чалдышев. *ФТТ* **44**, 2139 (2002).
- [9] N. Usami, T. Ichitsubo, T. Ujihara, T. Takahashi, K. Fujiwara, G. Sasaki, K. Nakajima. *J. Appl. Phys.* **94**, 916 (2003).
- [10] A.D. Andreev, E.P. O'Reilly. *Phys. Rev. B* **62**, 15 851 (2000).
- [11] J. Stangl, V. Holsy, G. Bauer. *Rev. Modern Phys.* **76**, 725 (2004).

- [12] T. Mura. *Micromechanics of defects in solids*. Martinus Nijhoff. Boston (1987). 587 p.
- [13] X. Chen, Y. Lou, A.C. Samia, C. Burda. *Nanolett.* **3**, 799 (2003).
- [14] D.D. Dunand, A. Mortensen. *Scripta Met. Mat.* **25**, 761 (1991).
- [15] V.V. Chaldyshev, A.L. Kolesnikova, N.A. Bert, A.E. Romanov. *J. Appl. Phys.* **97**, 024309 (2005).
- [16] A.L. Kolesnikova, A.E. Romanov. *Phil. Mag. Lett.* **84**, 501 (2004).
- [17] А.Л. Колесникова, А.Е. Романов. *Письма в ЖТФ* **30**, 89 (2004).
- [18] E. Pehlke, N. Moll, A. Kley, M. Scheffler. *Appl. Phys. A* **65**, 525 (1997).
- [19] A.L. Kolesnikova, I.A. Ovid'ko. *Phys. Rev. B* **69**, 035412 (2004).
- [20] Я.Е. Гегузин. *Живой кристалл*. Наука, М. (1981). 192 с.
- [21] Н.Д. Захаров, В.Н. Рожанский, Р.Л. Корчажкина. *ФТТ* **16**, 1444 (1974).
- [22] F.K. LeGoues, M.C. Reuter, J. Tersoff, M. Hammar, R.M. Tromp. *Phys. Rev. Lett.* **73**, 300 (1994).
- [23] H.J. Chu, J. Wang. *J. Appl. Phys.* **98**, 034315 (2005).
- [24] J. Dundurs, A.J. Salamon. *J. Phys. C* **50**, 125 (1972).
- [25] J.P. Hirth, J. Lothe. *Theory of Dislocations*. Wiley, N.Y. (1982). 752 p.
- [26] G. Eason, B. Noble, I.N. Sneddon. *Phil. Trans. R. Soc.* **247**, 529 (1955).